

แบบจำลองผลวัดของกระบวนการผลิตน้ำแข็งของโดยใช้วิธีการระบุเอกสารลักษณ์
แบบเชิงเส้นและไม่เชิงเส้น

นายวุฒินันท์ ฐูปห้อม

วิทยานิพนธ์นี้เป็นส่วนหนึ่งของการศึกษาตามหลักสูตรปริญญาวิศวกรรมศาสตรมหาบัณฑิต
สาขาวิชาบริการไฟฟ้า ภาควิชาบริการไฟฟ้า
คณะวิศวกรรมศาสตร์ จุฬาลงกรณ์มหาวิทยาลัย
ปีการศึกษา 2550
ลิขสิทธิ์ของจุฬาลงกรณ์มหาวิทยาลัย

DYNAMIC MODELS OF BLOCK-ICE PRODUCTION PROCESS USING
LINEAR AND NONLINEAR IDENTIFICATION METHODS

Mr. Wuttinun Thoophom

A Thesis Submitted in Partial Fulfillment of the Requirements
for the Degree of Master of Engineering Program in Electrical Engineering
Department of Electrical Engineering
Faculty of Engineering
Chulalongkorn University
Academic Year 2007
Copyright of Chulalongkorn University

500848

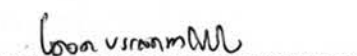
หัวข้อวิทยานิพนธ์ แบบจำลองผลวัดของกระบวนการผลิตน้ำแข็งของโดยใช้วิธีการระบุเอกสารลักษณ์
แบบเชิงเส้นและไม่เชิงเส้น
โดย นายวุฒินันท์ ภูปหอม
สาขาวิชา วิศวกรรมไฟฟ้า
อาจารย์ที่ปรึกษา รองศาสตราจารย์ ดร.เดวิด บรรเจิดพงศ์ชัย

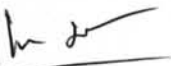
คณะกรรมการศาสตร์ จุฬาลงกรณ์มหาวิทยาลัย อนุมัติให้นับวิทยานิพนธ์ฉบับนี้เป็นส่วน
หนึ่งของการศึกษาตามหลักสูตรปริญญามหาบัณฑิต


..... คณะกรรมการศาสตร์
(รองศาสตราจารย์ ดร.นุญสม เลิศหริรัญวงศ์)

คณะกรรมการสอบบัณฑิต


..... ประธานกรรมการ
(ผู้ช่วยศาสตราจารย์ ดร.มานพ วงศ์สายสุวรรณ)


..... อาจารย์ที่ปรึกษา
(รองศาสตราจารย์ ดร.เดวิด บรรเจิดพงศ์ชัย)


..... กรรมการ
(อาจารย์ ดร.แนบนุญ หุนเจริญ)


..... กรรมการ
(รองศาสตราจารย์ ดร.กุณฑินี มณีรัตน์)

วุฒินันท์ ชูปหอม: แบบจำลองพลวัตของการผลิตน้ำแข็งของโดยใช้วิธีการระบุเอกสารลักษณ์แบบเชิงเส้นและไม่เชิงเส้น (DYNAMIC MODELS OF BLOCK-ICE PRODUCTION PROCESS USING LINEAR AND NONLINEAR IDENTIFICATION METHODS), อ.ที่ปรึกษา: รศ.ดร.เดวิด บรรจิดพงศ์ชัย, 68 หน้า

วิทยานิพนธ์นี้นำเสนอแนวทางการระบุเอกสารลักษณ์ของกระบวนการผลิตน้ำแข็งของ แบบจำลองพลวัตอธิบายความสัมพันธ์ระหว่างกำลังไฟฟ้าขาเข้าของเครื่องคอมเพรสเซอร์ อุณหภูมิน้ำเกลือ กับจำนวนของน้ำแข็ง เรายกเสนอแนวทางการสร้างแบบจำลอง 2 วิธี ได้แก่ การระบุเอกสารลักษณ์เชิงเส้น และการระบุเอกสารลักษณ์ไม่เชิงเส้น แบบจำลองเชิงเส้นมีรูปแบบง่ายกว่าแต่มีองค์ความเรียนอยกว่าแบบจำลองไม่เชิงเส้น อย่างไรก็ตาม แบบจำลองไม่เชิงเส้นอาจมีรูปแบบหลากหลายและซับซ้อน เราประยุกต์ดังนี้ที่เรียกว่า อัตราส่วนลดความผิดพลาดของการจำลองผลกระทบจากการเลือกโครงสร้างที่เหมาะสมของแบบจำลองไม่เชิงเส้น การประมาณพารามิเตอร์ของแบบจำลองอาศัยผลเฉลยตามทิศทางของเลอวินเบริก-มาคาด และใช้ขนาดการก้าวตามรอยถอยหลัง เมื่อใช้การระบุเอกสารลักษณ์แบบเชิงเส้นและไม่เชิงเส้นกับข้อมูลจริงที่ได้จากโรงงานผลิตน้ำแข็งของแห่งหนึ่ง ปรากฏว่า แบบจำลองเชิงเส้นสามารถ ทำนายสัญญาณข้ออกได้แม่นยำในบางกรณีเท่านั้น แต่โดยทั่วไป แบบจำลองไม่เชิงเส้นสามารถอธิบายกระบวนการได้แม่นยำกว่า หรือเทียบเท่ากับแบบจำลองเชิงเส้น

ภาควิชา วิศวกรรมไฟฟ้า
สาขาวิชา วิศวกรรมไฟฟ้า
ปีการศึกษา 2550

วุฒินันท์ ชูปหอม
ลายมือชื่อนิสิต 1
ลายมือชื่ออาจารย์ที่ปรึกษา ดร. นราพร พล

##4770466021: MAJOR ELECTRICAL ENGINEERING

KEY WORD: DYNAMIC MODELS / BLOCK-ICE PRODUCTION / LINEAR MODEL / NONLINEAR MODEL / NONLINEAR AUTOREGRESSIVE WITH EXOGENOUS INPUTS / SIMULATION ERROR REDUCTION RATIO / LEVENBERG-MARQUARDT DIRECTION / BACKTRACKING LINE SEARCH

WUTTINUN THOOPHOM: DYNAMIC MODELS OF BLOCK-ICE PRODUCTION PROCESS USING LINEAR AND NONLINEAR IDENTIFICATION METHODS, THESIS ADVISOR: DAVID BANJERDPONGCHAI, Ph.D., 68 pp.

This thesis presents identification approach to model block-ice processes. The dynamic model describes relationship between power input of compressor, brine temperature, and number of produced block-ice. We apply two modelling approaches, namely, linear and nonlinear identification. The linear model has a simpler form but less degrees of freedom than that of the nonlinear model. However, nonlinear models contain numerous and complex forms. We apply an index called simulation error reduction ratio to select appropriate structure of nonlinear models. The parameter estimation employs Levenberg-Marquardt direction and backtracking line search. We implement linear and nonlinear identification methods with real data obtained from a local factory. Linear models can predict the output with good precision in some cases. However, in general, nonlinear models can describe the process with a better or equal precision.

Department Electrical Engineering
Field of study Electrical Engineering
Academic year 2007

Student's signature Wuttinun Thoophom
Advisor's signature David Banjerdpongchai

กิตติกรรมประกาศ

วิทยานิพนธ์ฉบับนี้สำเร็จได้ด้วยความช่วยเหลือของรองศาสตราจารย์ ดร. เดวิด บรรเจิดพงศ์ชัย อาจารย์ที่ปรึกษาวิทยานิพนธ์ ผู้ให้คำแนะนำต่างๆ ทำให้ผู้วิจัยมีแนวคิดในการทำวิทยานิพนธ์ ผู้วิจัยจึงคร่ขอขอบพระคุณไว้ ณ ที่นี่

ขอขอบพระคุณผู้ช่วยศาสตราจารย์ ดร.มานพ วงศ์สายสุวรรณ ประธานกรรมการสอบวิทยานิพนธ์ อาจารย์ ดร.แนบบุญ หุนเจริญ และรองศาสตราจารย์ ดร.กฤตศิริ มณีรัตน์ กรรมการสอบวิทยานิพนธ์ ที่เสียสละเวลาตรวจสอบเพื่อป้องปุ่งให้วิทยานิพนธ์ฉบับนี้สมบูรณ์ยิ่งขึ้น และขอขอบพระคุณ คณาจารย์ทุกท่านในสาขาวิชาควบคุม ภาควิชาวิศวกรรมไฟฟ้า ที่ได้ประสิทธิประสาทความรู้พื้นฐานในวิชาทางระบบควบคุม อันเป็นพื้นฐานในการศึกษาและทำวิทยานิพนธ์นี้

ขอกราบขอขอบพระคุณบิดา มารดา พี่น้อง และญาติผู้เป็นกำลังใจและกำลังทรัพย์ตลอดเวลา รวมทั้งให้โอกาสผู้วิจัยได้ศึกษาด่อในระดับปริญญามหาบัณฑิต

ขอขอบคุณรุ่นพี่ เพื่อนๆ และรุ่นน้องในห้องปฏิบัติการวิจัยระบบควบคุมที่ให้กำลังใจและคำปรึกษา จนผู้วิจัยได้ทำวิทยานิพนธ์นี้สำเร็จสมบูรณ์

สุดท้ายนี้ ขอขอบคุณห้องปฏิบัติการวิจัยระบบควบคุม ภาควิชาวิศวกรรมไฟฟ้า คณะวิศวกรรมศาสตร์ จุฬาลงกรณ์มหาวิทยาลัย สำหรับทรัพยากรต่างๆ ในการศึกษา ค้นคว้าและวิจัย

สารบัญ

| | หน้า |
|---|------|
| บทคัดย่อภาษาไทย | ๑ |
| บทคัดย่อภาษาอังกฤษ | ๒ |
| กิตติกรรมประกาศ | ๓ |
| สารบัญ | ๔ |
| สารบัญตาราง | ๘ |
| สารบัญภาพ | ๙ |
| คำอธิบายสัญลักษณ์ | ๑๐ |
| บทที่ | |
| 1 บทนำ | 1 |
| 1.1 ความเป็นมา | 1 |
| 1.2 งานวิจัยที่ผ่านมา | 1 |
| 1.3 วัตถุประสงค์ | 2 |
| 1.4 ขอบเขตของวิทยานิพนธ์ | 2 |
| 1.5 ขั้นตอนในการดำเนินงาน | 2 |
| 1.6 ประโยชน์ที่คาดว่าจะได้รับ | 2 |
| 1.7 โครงสร้างของวิทยานิพนธ์ | 2 |
| 2 กระบวนการผลิตน้ำแข็งของ | 4 |
| 2.1 บทนำ | 4 |
| 2.2 วัสดุการทำการทดลองพื้นฐาน | 4 |
| 2.3 องค์ประกอบหลักในการผลิตน้ำแข็งของ | 6 |
| 2.3.1 องค์ประกอบทางกายภาพ | 6 |
| 2.3.2 กระบวนการผลิตน้ำแข็งของ | 8 |
| 2.3.3 พลังงานไฟฟ้าในกระบวนการผลิตน้ำแข็งของ | 11 |
| 2.4 บทสรุป | 13 |
| 3 แบบจำลองเชิงเส้นของการควบคุมการผลิตน้ำแข็งของ | 14 |
| 3.1 บทนำ | 14 |
| 3.2 แบบจำลองพลวัตของการควบคุมการผลิตน้ำแข็งของ | 14 |

| บทที่ | หน้า |
|--|-----------|
| 3.2.1 แบบจำลองประมาณจำนวนของน้ำแข็ง | 15 |
| 3.2.2 แบบจำลองประมาณค่าพารามิเตอร์ | 18 |
| 3.2.3 แบบจำลองคำนวณอุณหภูมิน้ำเกลือ | 24 |
| 3.2.4 แบบจำลองทำนายจำนวนของน้ำแข็ง | 26 |
| 3.3 แบบจำลองเชิงเส้นของกระบวนการผลิตน้ำแข็งของ | 28 |
| 3.4 สรุป | 41 |
| 4 แบบจำลองไม่เชิงเส้นของกระบวนการผลิตน้ำแข็งของ | 42 |
| 4.1 บทนำ | 42 |
| 4.2 การระบุเอกสารชี้แจงของแบบจำลองไม่เชิงเส้น NARX | 42 |
| 4.3 แบบจำลอง NARX ของกระบวนการผลิตน้ำแข็งของ | 50 |
| 4.4 สรุป | 56 |
| 5 บทสรุปและข้อเสนอแนะ | 57 |
| 5.1 บทสรุป | 57 |
| 5.2 ข้อเสนอแนะ | 57 |
| รายการอ้างอิง | 62 |
| ภาคผนวก | 64 |
| ก แบบจำลองการขึ้นรูปน้ำแข็งของ | 65 |
| ก.1 บทนำ | 65 |
| ก.2 แบบจำลองการขึ้นรูปน้ำแข็งของด้วยวิธีไฟไนท์วอลุ่ม | 65 |
| ก.3 การสร้างตารางฐานข้อมูลการขึ้นรูปน้ำแข็งของ | 66 |
| ประวัติผู้เขียนวิทยานิพนธ์ | 68 |

สารบัญตาราง

หน้า

| | | |
|-----|--|----|
| 3.1 | ข้อมูลแสดงช่วงเวลาการระบุเอกสารลักษณ์และตรวจสอบความแม่นยำของแบบจำลอง | 31 |
| 3.2 | แบบจำลองเชิงเส้นและความแม่นยำของแบบจำลองแต่ละส่วนจากข้อมูลตรวจสอบความแม่น ย้ำแต่ละชุด | 41 |
| 4.1 | แบบจำลอง NARX และความแม่นยำของแบบจำลองแต่ละส่วนจากข้อมูลตรวจสอบความ แม่นย้ำแต่ละชุด | 55 |
| 5.1 | แบบจำลองของกระบวนการผลิตน้ำแข็งซองในแต่ละช่วงเวลา | 59 |
| ก.1 | พลังงานความร้อนที่ถ่ายเทออกจากน้ำแต่ละซองขึ้นอยู่กับช่วงเวลาและอุณหภูมิน้ำเกลือ . . . | 67 |

สารบัญภาพ

| | หน้า |
|--|------|
| 2.1 แผนภาพวัฏจักรการทำความเย็น | 5 |
| 2.2 แผนภาพ $P - h$ ของวัฏจักรการทำความเย็น | 5 |
| 2.3 แผนภาพองค์ประกอบในการผลิตน้ำแข็งของ | 7 |
| 2.4 แผนภาพขั้นตอนการผลิตและจำหน่ายน้ำแข็งของ | 10 |
| 2.5 พลังงานไฟฟ้าที่ป้อนให้กับคอมเพรสเซอร์ใน 1 วันหรือ 24 ชั่วโมง | 12 |
| 2.6 พลังงานไฟฟ้าที่ป้อนให้กับคอมเพรสเซอร์ใน 7 วันหรือ 168 ชั่วโมง | 12 |
| | |
| 3.1 แผนภาพแบบจำลองพลวัตของการบวนการผลิตน้ำแข็งของ | 14 |
| 3.2 แผนภาพแบบจำลองประมาณจำนวนของน้ำแข็ง | 15 |
| 3.3 จำนวนของน้ำแข็งเมื่อใช้อุณหภูมน้ำเกลือที่วัดได้จากอุปกรณ์ตรวจจับอุณหภูมิ | 17 |
| 3.4 พลังงานถ่ายเทศาสมเมื่อใช้อุณหภูมน้ำเกลือที่วัดได้จากอุปกรณ์ตรวจจับอุณหภูมิ | 17 |
| 3.5 แผนภาพแบบจำลองประมาณค่าพารามิเตอร์สำหรับกระบวนการผลิตน้ำแข็งของ | 18 |
| 3.6 พารามิเตอร์ที่ประมาณด้วยวิธีกำลังสองน้อยสุดแบบวนซ้ำครั้งที่ 1 | 21 |
| 3.7 พารามิเตอร์ที่ประมาณด้วยวิธีกำลังสองน้อยสุดแบบวนซ้ำครั้งที่ 2 | 22 |
| 3.8 พารามิเตอร์ที่ประมาณด้วยวิธีกำลังสองน้อยสุดแบบวนซ้ำโดยการถอด rakcrung ที่ 1 | 23 |
| 3.9 พารามิเตอร์ที่ประมาณด้วยวิธีกำลังสองน้อยสุดแบบวนซ้ำโดยการถอด rakcrung ที่ 2 | 24 |
| 3.10 แผนภาพแบบจำลองคำนวณอุณหภูมน้ำเกลือ | 24 |
| 3.11 อุณหภูมน้ำเกลือที่วัดได้กับอุณหภูมน้ำเกลือที่คำนวณได้ใน 72 ชั่วโมงข้างหน้า | 26 |
| 3.12 จำนวนของน้ำแข็ง ($I_{100p}, I_{85p}, I_{50p}$) ที่คำนวณได้ใน 72 ชั่วโมงข้างหน้าเมื่อเปรียบเทียบ ผลลัพท์กับแบบจำลองประมาณจำนวนของน้ำแข็ง | 27 |
| 3.13 พลังงานถ่ายเทศาสม ($Q_{CTP}, Q_{85p}, Q_{50p}$) ที่คำนวณได้ใน 72 ชั่วโมงข้างหน้าเมื่อเปรียบ เทียบผลลัพท์กับแบบจำลองประมาณจำนวนของน้ำแข็ง | 27 |
| 3.14 แผนภาพแบบจำลองพลวัตของการบวนการผลิตน้ำแข็งของที่ปรับปรุงใหม่ | 28 |
| 3.15 แบบจำลองพลวัตของการบวนการผลิตน้ำแข็งของส่วนแรก | 29 |
| 3.16 แบบจำลองพลวัตของการบวนการผลิตน้ำแข็งของส่วนที่สอง | 29 |
| 3.17 สัญญาณเข้า-ออกของแบบจำลองส่วนแรกเมื่อใช้ข้อมูลการผลิตบ่อที่ 1 เดือนกุมภาพันธ์ .. | 30 |
| 3.18 สัญญาณเข้า-ออกของแบบจำลองส่วนที่สองเมื่อใช้ข้อมูลการผลิตบ่อที่ 1 เดือนกุมภาพันธ์ .. | 30 |
| 3.19 สัญญาณเข้า-ออกของแบบจำลองส่วนแรกเมื่อใช้ข้อมูลชุดที่ 1 กับข้อมูลการผลิตบ่อที่ 1 เดือนกุมภาพันธ์ | 31 |
| 3.20 สัญญาณเข้า-ออกของแบบจำลองส่วนที่สองเมื่อใช้ข้อมูลชุดที่ 1 กับข้อมูลการผลิตบ่อที่ 1 เดือนกุมภาพันธ์ | 32 |

หน้า

| | |
|--|----|
| 3.21 สัญญาณเข้า-ออกของแบบจำลองส่วนแรกเมื่อใช้ข้อมูลชุดที่ 2 กับข้อมูลการผลิตปัจจุบันที่ 1 เดือนกุมภาพันธ์ | 32 |
| 3.22 สัญญาณเข้า-ออกของแบบจำลองส่วนที่สองเมื่อใช้ข้อมูลชุดที่ 2 กับข้อมูลการผลิตปัจจุบันที่ 1 เดือนกุมภาพันธ์ | 33 |
| 3.23 สัญญาณเข้า-ออกของแบบจำลองส่วนแรกเมื่อใช้ข้อมูลชุดที่ 3 กับข้อมูลการผลิตปัจจุบันที่ 1 เดือนกุมภาพันธ์ | 33 |
| 3.24 สัญญาณเข้า-ออกของแบบจำลองส่วนที่สองเมื่อใช้ข้อมูลชุดที่ 3 กับข้อมูลการผลิตปัจจุบันที่ 1 เดือนกุมภาพันธ์ | 34 |
| 3.25 อุณหภูมิน้ำเกลือที่วัดได้จริงกับที่ทำนายได้จากแบบจำลองเชิงเส้นส่วนแรกเมื่อใช้ข้อมูลตรวจ สอบความแม่นยำชุดที่ 1 | 35 |
| 3.26 จำนวนของน้ำแข็งคงเหลือภายในป่าที่วัดได้จริงกับที่ทำนายได้จากแบบจำลองเชิงเส้นส่วนที่ สองเมื่อใช้ข้อมูลตรวจสอบความแม่นยำชุดที่ 1 | 36 |
| 3.27 อุณหภูมิน้ำเกลือที่วัดได้จริงกับที่ทำนายได้จากแบบจำลองเชิงเส้นส่วนแรกเมื่อใช้ข้อมูลตรวจ สอบความแม่นยำชุดที่ 2 | 37 |
| 3.28 จำนวนของน้ำแข็งคงเหลือภายในป่าที่วัดได้จริงกับที่ทำนายได้จากแบบจำลองเชิงเส้นส่วนที่ สองเมื่อใช้ข้อมูลตรวจสอบความแม่นยำชุดที่ 2 | 38 |
| 3.29 อุณหภูมิน้ำเกลือที่วัดได้จริงกับที่ทำนายได้จากแบบจำลองเชิงเส้นส่วนแรกเมื่อใช้ข้อมูลตรวจ สอบความแม่นยำชุดที่ 3 | 39 |
| 3.30 จำนวนของน้ำแข็งคงเหลือภายในป่าที่วัดได้จริงกับที่ทำนายได้จากแบบจำลองเชิงเส้นส่วนที่ สองเมื่อใช้ข้อมูลตรวจสอบความแม่นยำชุดที่ 3 | 40 |
| 4.1 ผังงานการระบุเอกสารชนิดของแบบจำลองไม่เชิงเส้น NARX | 46 |
| 4.2 ผังงานกำหนดค่าพารามิเตอร์เริ่มต้น | 47 |
| 4.3 ผังงานการเลือกสัญญาณที่เหมาะสมที่สุด | 47 |
| 4.4 ผังงานการประมาณค่าพารามิเตอร์ของแบบจำลอง | 48 |
| 4.5 ผังงานการหาขนาดการก้าวตามรอยถอยหลัง | 49 |
| 4.6 ผังงานการตรวจสอบความถูกต้องของแบบจำลอง | 49 |
| 4.7 อุณหภูมิน้ำเกลือที่วัดได้จริงกับที่ทำนายได้จากแบบจำลอง NARX ส่วนแรกเมื่อใช้ข้อมูล ตรวจสอบความแม่นยำชุดที่ 1 | 50 |
| 4.8 จำนวนของน้ำแข็งคงเหลือภายในป่าที่วัดได้จริงกับที่ทำนายได้จากแบบจำลอง NARX ส่วน ที่สองเมื่อใช้ข้อมูลตรวจสอบความแม่นยำชุดที่ 1 | 51 |
| 4.9 อุณหภูมิน้ำเกลือที่วัดได้จริงกับที่ทำนายได้จากแบบจำลอง NARX ส่วนแรกเมื่อใช้ข้อมูล ตรวจสอบความแม่นยำชุดที่ 2 | 52 |

หน้า

| | |
|---|----|
| 4.10 จำนวนชองน้ำแข็งคงเหลือภายในบ่อที่วัดได้จริงกับที่คำนายน้ำได้จากแบบจำลอง NARX ส่วนที่สองเมื่อใช้ข้อมูลตรวจสอบความแม่นยำชุดที่ 2 | 53 |
| 4.11 อุณหภูมน้ำเกลือที่วัดได้จริงกับที่คำนายน้ำได้จากแบบจำลอง NARX ส่วนแรกเมื่อใช้ข้อมูลตรวจสอบความแม่นยำชุดที่ 3 | 54 |
| 4.12 จำนวนชองน้ำแข็งคงเหลือภายในบ่อที่วัดได้จริงกับที่คำนายน้ำได้จากแบบจำลอง NARX ส่วนที่สองเมื่อใช้ข้อมูลตรวจสอบความแม่นยำชุดที่ 3 | 55 |
| ก.1 ขนาดชองน้ำแข็งและระดับน้ำหรือน้ำแข็งในชองเทียบกับระดับน้ำเกลือบริเวณภายนอก ... | 66 |

คำอธิบายสัญลักษณ์

| | |
|--------------|--|
| W_{in} | พลังงานไฟฟ้าที่ป้อนให้กับคอมเพรสเซอร์ |
| N | ยอดขาย |
| P | พลังงานถ่ายเทสสมเพื่อคูดความร้อนออกจากน้ำเกลือภายในบ่อ |
| T_b | อุณหภูมิน้ำเกลือที่วัดได้จากอุปกรณ์ตรวจน้ำภายในระบบ |
| T_{bc} | อุณหภูมิน้ำเกลือที่คำนวณได้จากแบบจำลองคำนวณอุณหภูมิน้ำเกลือ |
| Q_{cum} | พลังงานถ่ายเทสสมของน้ำแข็งของหรือพลังงานถ่ายเทสสมระหว่างสารทำความเย็นกับน้ำเกลือ |
| Q_{cumref} | พลังงานถ่ายเทสสมอ้างอิงสำหรับการผลิตน้ำแข็งหนึ่งหน่วย |
| Q_{tb} | พลังงานถ่ายเทสสมระหว่างน้ำเกลือกับน้ำ |
| $Trig$ | ตัวควบคุมการส่งอุณหภูมิน้ำเกลือที่คำนวณได้ |
| θ | พารามิเตอร์ของแบบจำลองประมาณจำนวนชองน้ำแข็ง |
| N_r | จำนวนชองน้ำแข็งที่น้ำเปลี่ยนสถานะเป็นน้ำแข็งสมบูรณ์แล้ว |
| I_{100e} | จำนวนชองน้ำแข็งพร้อมขายที่หาได้จากแบบจำลองประมาณจำนวนชองน้ำแข็ง |
| I_{85e} | จำนวนชองน้ำแข็งที่น้ำเปลี่ยนสถานะเป็นน้ำแข็งแล้วร้อยละ 85 จากมวลของน้ำแข็งที่หาได้จากแบบจำลองประมาณจำนวนชองน้ำแข็ง |
| I_{50e} | จำนวนชองน้ำแข็งที่น้ำเปลี่ยนสถานะเป็นน้ำแข็งแล้วร้อยละ 50 จากมวลของน้ำแข็งที่หาได้จากแบบจำลองประมาณจำนวนชองน้ำแข็ง |
| I_{100p} | จำนวนชองน้ำแข็งคงเหลือที่หาได้จากแบบจำลองทำนายจำนวนชองน้ำแข็ง |
| I_{85p} | จำนวนชองน้ำแข็งที่น้ำเปลี่ยนสถานะเป็นน้ำแข็งแล้วร้อยละ 85 จากมวลของน้ำแข็งที่หาได้จากแบบจำลองทำนายจำนวนชองน้ำแข็ง |
| I_{50p} | จำนวนชองน้ำแข็งที่น้ำเปลี่ยนสถานะเป็นน้ำแข็งแล้วร้อยละ 50 จากมวลของน้ำแข็งที่หาได้จากแบบจำลองทำนายจำนวนชองน้ำแข็ง |
| Q_{CTe} | พลังงานถ่ายเทสสมทั้งหมดภายในบ่อที่หาได้แบบจำลองประมาณจำนวนชองน้ำแข็ง |
| Q_{C85e} | พลังงานถ่ายเทสสมของน้ำที่มากกว่าหรือเท่ากับร้อยละ 85 ของ Q_{cumref} ซึ่งหาได้แบบจำลองประมาณจำนวนชองน้ำแข็ง |
| Q_{C50e} | พลังงานถ่ายเทสสมของน้ำที่มากกว่าหรือเท่ากับร้อยละ 50 ของ Q_{cumref} ซึ่งหาได้แบบจำลองทำนายจำนวนชองน้ำแข็ง |
| Q_{CTp} | พลังงานถ่ายเทสสมทั้งหมดภายในบ่อที่หาได้จากแบบจำลองทำนายจำนวนชองน้ำแข็ง |
| Q_{C85p} | พลังงานถ่ายเทสสมของน้ำที่มากกว่าหรือเท่ากับร้อยละ 85 ของ Q_{cumref} ซึ่งหาได้แบบจำลองทำนายจำนวนชองน้ำแข็ง |
| Q_{C50p} | พลังงานถ่ายเทสสมของน้ำที่มากกว่าหรือเท่ากับร้อยละ 50 ของ Q_{cumref} ซึ่งหาได้แบบจำลองทำนายจำนวนชองน้ำแข็ง |
| I_{100e} | จำนวนชองน้ำแข็งคงเหลือรวมกับจำนวนชองน้ำแข็งที่น้ำเปลี่ยนสถานะเป็นน้ำแข็งสมบูรณ์แล้ว |